

УДК 532.529.6

СИЛЫ ВЯЗКОГО ВЗАИМОДЕЙСТВИЯ ДВУХ ПУЛЬСИРУЮЩИХ СФЕР В ЖИДКОСТИ ВБЛИЗИ ЗОНЫ ИХ КОНТАКТА

Ш. В. Сандуляну

Институт проблем механики им. А. Ю. Ишлинского РАН, 119526 Москва, Россия
Московский физико-технический институт, 141701 Долгопрудный, Россия
E-mail: shtefan.sanduleanu@gmail.com

Рассматривается взаимодействие двух сферических пузырьков с переменными радиусами при движении в вязкой жидкости вдоль линии, соединяющей их центры. Функция тока, удовлетворяющая уравнению Стокса, найдена в бисферических координатах в виде ряда по полиномам Гегенбауэра. Выражения для вязких сил, действующих на сферы, представлены в виде бесконечных рядов. Вблизи зоны контакта пузырьков получены асимптотические выражения для этих сил.

Ключевые слова: вязкое взаимодействие пузырьков, функция тока Стокса, осевая симметрия.

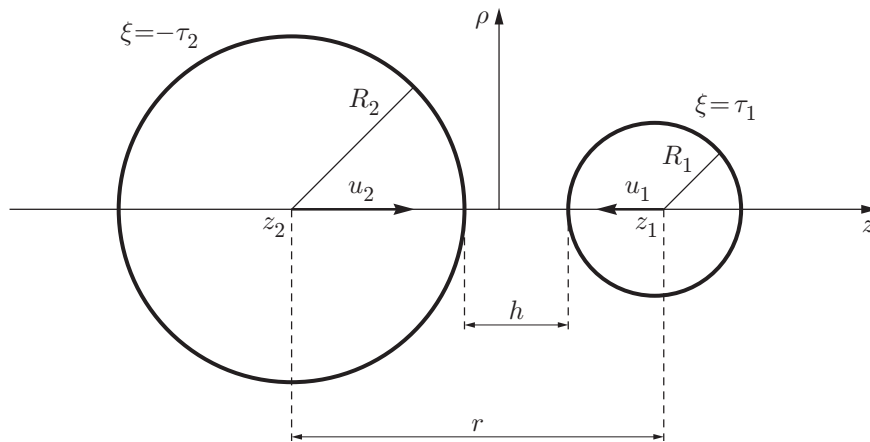
DOI: 10.15372/PMTF20200405

Введение. Задача о взаимодействии двух твердых сфер (с постоянными радиусами) в вязкой жидкости в приближении Стокса впервые в точной постановке рассматривалась в работе [1], в которой сферы совершали движение вдоль линии, соединяющей их центры, а течение жидкости полагалось осесимметричным. Для функции тока построено разложение по полиномам Гегенбауэра в бисферических координатах. С помощью этой функции для вязких сил, действующих на сферы, получены выражения в виде бесконечных рядов, позднее использованные для определения главных асимптотик вязких сил как на больших расстояниях от зоны контакта сфер [2], так и вблизи нее [3, 4]. В работах [3–5] с помощью теории смазочного слоя найдены главные асимптотики сил вблизи зоны контакта сфер.

Задача о взаимодействии двух твердых сфер также решена с помощью “метода отражений” [6]. В работе [6] также получено разложение вязких сил на больших расстояниях и найдена сила взаимодействия, возникающая при движении двух сфер с постоянными радиусами и одинаковыми скоростями в области контакта. Ряды, полученные методом отражений, сходятся значительно быстрее, чем разложения по обратным степеням расстояний r между центрами сфер. Однако этого недостаточно для анализа процесса сближения пузырьков [7].

Целью настоящей работы является получение с помощью методики [1] точного решения задачи о вязком взаимодействии двух сфер с произвольными переменными радиусами при выполнении условия прилипания на поверхностях сфер. Из выражений в виде бесконечных рядов для вязких сил получены их асимптотические разложения вблизи зоны контакта.

Работа выполнена в рамках Государственного задания № АААА-А20-120011690138-6.



Постановка задачи

1. Постановка задачи. В приближении Стокса рассматривается взаимодействие двух сферических пузырьков с переменными радиусами при движении в вязкой жидкости вдоль линии, соединяющей их центры. Течение жидкости полагается осесимметричным. Центры сфер, расположенные на оси z , имеют координаты z_1, z_2 ($z_1 > z_2$), скорости центров равны $u_1 = -\dot{z}_1, u_2 = \dot{z}_2$ и направлены навстречу друг другу (см. рисунок). Скорости изменения радиусов равны \dot{R}_1, \dot{R}_2 соответственно. Расстояние между центрами сфер равно $r = z_1 - z_2$, расстояние между поверхностями сфер (зазор) равно $h = r - R_1 - R_2$. Необходимо найти действующие на сферы силы вязкого трения как линейные функции скоростей $u_1, u_2, \dot{R}_1, \dot{R}_2$, коэффициенты которых зависят от радиусов этих сфер и расстояния между ними.

В соответствии с работой [1] решение задачи целесообразно искать с помощью функции тока Стокса в бисферических координатах, которая должна удовлетворять уравнению [1]

$$\Phi^4(\psi) = 0;$$

$$\Phi^2 \equiv \frac{\text{ch } \xi - \mu}{c^2} \left(\frac{\partial}{\partial \xi} \left((\text{ch } \xi - \mu) \frac{\partial}{\partial \xi} \right) + (1 - \mu^2) \frac{\partial}{\partial \mu} \left((\text{ch } \xi - \mu) \frac{\partial}{\partial \mu} \right) \right). \quad (1)$$

Бисферические координаты ξ, ζ, θ связаны с декартовыми следующим образом:

$$\rho = c \frac{\sin \zeta}{\text{ch } \xi - \cos \zeta}, \quad z = c \frac{\text{sh } \xi}{\text{ch } \xi - \cos \zeta}, \quad x = \rho \cos \theta, \quad y = \rho \sin \theta.$$

При этом поверхности сфер задаются уравнениями (см. рисунок)

$$\xi = (-1)^{i-1} \tau_i = \text{const}, \quad \zeta \in [0, \pi], \quad \theta \in [0, 2\pi], \quad i = \{1, 2\},$$

параметры τ_1, τ_2, c находятся из уравнений

$$R_1 \text{sh } \tau_1 = c, \quad R_2 \text{sh } \tau_2 = c, \quad r = R_1 \text{ch } \tau_1 + R_2 \text{ch } \tau_2.$$

2. Функция тока в бисферических координатах. Функцию тока будем искать в виде [1]

$$\psi = (\text{ch } \xi - \cos \zeta)^{-3/2} \sum_{n=0}^{\infty} U_n(\xi) C_n^{-1/2}(\cos \zeta), \quad (2)$$

$$U_n(\xi) = a_n \text{ch}(n - 3/2)\xi + b_n \text{sh}(n - 3/2)\xi + c_n \text{ch}(n + 1/2)\xi + d_n \text{sh}(n + 1/2)\xi,$$

где $C_n^{-1/2}(\mu)$ ($n = 0, 1, 2, \dots$) — полиномы Гегенбауэра [8]. При решении задачи для сфер с переменными радиусами суммирование необходимо начинать с $n = 0$, поскольку в этом случае множество полиномов Гегенбауэра образует полный базис [9].

Коэффициенты a_n, b_n, c_n, d_n находим из граничных условий на поверхностях сфер при $\xi = \tau_1, \xi = -\tau_2$. В случае вязкой жидкости кроме условия для нормальной компоненты скорости зададим второе условие для тангенциальной скорости либо для касательного напряжения. В данной работе рассматривается случай прилипания на границе пузырьков. Такое условие является естественным при наличии поверхностно-активных веществ в различных газожидкостных технологиях.

3. Граничные условия. Сформулируем граничные условия на поверхностях сфер.

3.1. *Нормальная составляющая.* Нормальная составляющая скорости жидкости v_n и скорость поверхности пузырька w_n должны совпадать: $(\mathbf{v}_1, \mathbf{n}) = (\mathbf{w}_1, \mathbf{n})$ на границе первой сферы, $(\mathbf{v}_2, \mathbf{n}) = (\mathbf{w}_2, \mathbf{n})$ на границе второй сферы. В бисферических координатах скалярные произведения $(\mathbf{v}_i, \mathbf{n}), (\mathbf{w}_i, \mathbf{n})$ определяются по формулам

$$\begin{aligned} (\mathbf{v}_1, \mathbf{n}) &= \frac{1}{\rho} \frac{\partial \psi}{\partial \zeta} \frac{\operatorname{ch} \tau_1 - \cos \zeta}{c}, & (\mathbf{w}_1, \mathbf{n}) &= -u_1 \left(-\frac{\operatorname{ch} \tau_1 \cos \zeta - 1}{\operatorname{ch} \tau_1 - \cos \zeta} \right) - \dot{R}_1, \\ (\mathbf{v}_2, \mathbf{n}) &= \frac{1}{\rho} \frac{\partial \psi}{\partial \zeta} \frac{\operatorname{ch} \tau_2 - \cos \zeta}{c}, & (\mathbf{w}_2, \mathbf{n}) &= u_2 \left(-\frac{\operatorname{ch} \tau_2 \cos \zeta - 1}{\operatorname{ch} \tau_2 - \cos \zeta} \right) + \dot{R}_2. \end{aligned} \quad (3)$$

Интегрируя по ζ граничные условия (3) и выбирая константы интегрирования таким образом, чтобы на оси симметрии вектор скорости был параллелен данной оси, получаем

$$\begin{aligned} \psi|_{\xi=\tau_1} &= u_1 c^2 \frac{1}{2} \frac{1 - \mu^2}{(\operatorname{ch} \tau_1 - \mu)^2} + \dot{R}_1 c^2 \frac{1}{\operatorname{ch} \tau_1 - \mu} + \left(\frac{\dot{R}_2 c^2}{\operatorname{sh}^2 \tau_2} - \frac{\dot{R}_1 c^2 \operatorname{ch} \tau_1}{\operatorname{sh}^2 \tau_1} \right), \\ \psi|_{\xi=-\tau_2} &= -u_2 c^2 \frac{1}{2} \frac{1 - \mu^2}{(\operatorname{ch} \tau_2 - \mu)^2} - \dot{R}_2 c^2 \frac{1}{\operatorname{ch} \tau_2 - \mu} - \left(\frac{\dot{R}_1 c^2}{\operatorname{sh}^2 \tau_1} - \frac{\dot{R}_2 c^2 \operatorname{ch} \tau_2}{\operatorname{sh}^2 \tau_2} \right). \end{aligned} \quad (4)$$

С учетом вида функции тока (2) условия (4) преобразуем к виду

$$\sum_{n=0}^{\infty} U_n(\tau_1) C_n^{-1/2}(\cos \zeta) - f_0(\mu) = 0, \quad \sum_{n=0}^{\infty} U_n(-\tau_2) C_n^{-1/2}(\cos \zeta) - g_0(\mu) = 0, \quad (5)$$

где

$$\begin{aligned} f_0(\mu) &= u_1 c^2 \frac{1}{2} \frac{1 - \mu^2}{(\operatorname{ch} \tau_1 - \mu)^{1/2}} + \dot{R}_1 c^2 (\operatorname{ch} \tau_1 - \mu)^{1/2} + \left(\frac{\dot{R}_2 c^2}{\operatorname{sh}^2 \tau_2} - \frac{\dot{R}_1 c^2 \operatorname{ch} \tau_1}{\operatorname{sh}^2 \tau_1} \right) (\operatorname{ch} \tau_1 - \mu)^{3/2}, \\ g_0(\mu) &= -u_2 c^2 \frac{1}{2} \frac{1 - \mu^2}{(\operatorname{ch} \tau_2 - \mu)^{1/2}} - \dot{R}_2 c^2 (\operatorname{ch} \tau_2 - \mu)^{1/2} - \left(\frac{\dot{R}_1 c^2}{\operatorname{sh}^2 \tau_1} - \frac{\dot{R}_2 c^2 \operatorname{ch} \tau_2}{\operatorname{sh}^2 \tau_2} \right) (\operatorname{ch} \tau_2 - \mu)^{3/2}. \end{aligned} \quad (6)$$

Далее функции $f_0(\mu), g_0(\mu)$ разложим по полиномам Гегенбауэра следующим образом.

Согласно работам [1, 8] при $\tau > 0, -1 \leq \mu \leq 1$ справедливы тождества

$$\begin{aligned} (\operatorname{ch} \tau - \mu)^{1/2} &= \sum_{n=0}^{\infty} C_n^{-1/2}(\mu) \frac{\sqrt{2}}{2} e^{-(n-1/2)\tau}, \\ \frac{1}{(\operatorname{ch} \tau - \mu)^{1/2}} &= \sum_{n=0}^{\infty} C_n^{-1/2}(\mu) \frac{-(n-1/2)\sqrt{2}}{\operatorname{sh} \tau} e^{-(n-1/2)\tau}, \\ (\operatorname{ch} \tau - \mu)^{3/2} &= \sum_{n=0}^{\infty} C_n^{-1/2}(\mu) \frac{3\sqrt{2}}{8} \left(\frac{e^{-(n+1/2)\tau}}{n+1/2} - \frac{e^{-(n-3/2)\tau}}{n-3/2} \right), \end{aligned}$$

$$\frac{1 - \mu^2}{(\operatorname{ch} \tau - \mu)^{3/2}} = \sum_{n=0}^{\infty} C_n^{-1/2}(\mu) 2\sqrt{2} n(n-1) e^{-(n-1/2)\tau},$$

$$\frac{1 - \mu^2}{(\operatorname{ch} \tau - \mu)^{1/2}} = \sum_{n=0}^{\infty} C_n^{-1/2}(\mu) \frac{\sqrt{2}}{2} n(n-1) \left(\frac{e^{-(n-3/2)\tau}}{n-3/2} - \frac{e^{-(n+1/2)\tau}}{n+1/2} \right).$$

3.2. *Тангенциальная составляющая.* В случае выполнения условия прилипания на границе тангенциальные составляющие скоростей равны: $v_\tau = w_\tau$ ($(\mathbf{v}_1, \boldsymbol{\tau}) = (\mathbf{w}_1, \boldsymbol{\tau})$ на границе первой сферы, $(\mathbf{v}_2, \boldsymbol{\tau}) = (\mathbf{w}_2, \boldsymbol{\tau})$ на границе второй сферы). В бисферических координатах скалярные произведения $(\mathbf{v}_i, \boldsymbol{\tau})$ и $(\mathbf{w}_i, \boldsymbol{\tau})$ определяются по формулам

$$(\mathbf{v}_1, \boldsymbol{\tau}) = -\frac{1}{\rho} \frac{\partial \psi}{\partial \xi} \frac{\operatorname{ch} \tau_1 - \cos \zeta}{c}, \quad (\mathbf{w}_1, \boldsymbol{\tau}) = u_1 \frac{\operatorname{sh} \tau_1 \sin \zeta}{\operatorname{ch} \tau_1 - \cos \zeta},$$

$$(\mathbf{v}_2, \boldsymbol{\tau}) = -\frac{1}{\rho} \frac{\partial \psi}{\partial \xi} \frac{\operatorname{ch} \tau_2 - \cos \zeta}{c}, \quad (\mathbf{w}_2, \boldsymbol{\tau}) = u_2 \frac{\operatorname{sh} \tau_2 \sin \zeta}{\operatorname{ch} \tau_2 - \cos \zeta}.$$

Отсюда находим

$$\left. \frac{\partial \psi}{\partial \xi} \right|_{\xi=\tau_1} = -u_1 c^2 \frac{\operatorname{sh} \tau_1 (1 - \mu^2)}{(\operatorname{ch} \tau_1 - \mu)^3}, \quad \left. \frac{\partial \psi}{\partial \xi} \right|_{\xi=-\tau_2} = -u_2 c^2 \frac{\operatorname{sh} \tau_2 (1 - \mu^2)}{(\operatorname{ch} \tau_2 - \mu)^3}. \quad (7)$$

Используя функцию тока ψ (2), получаем

$$\frac{\partial \psi}{\partial \xi} = (\operatorname{ch} \xi - \mu)^{-3/2} \sum_{n=0}^{\infty} U'_n(\xi) C_n^{-1/2}(\mu) - \frac{3}{2} \frac{\operatorname{sh} \xi}{\operatorname{ch} \xi - \mu} \psi, \quad U'_n(\xi) = \frac{\partial U_n(\xi)}{\partial \xi}. \quad (8)$$

Подставляя равенство (8) в (7), получаем систему уравнений

$$\sum_{n=0}^{\infty} U'_n(\tau_1) C_n^{-1/2}(\mu) = \frac{3}{2} \operatorname{sh} \tau_1 (\operatorname{ch} \tau_1 - \mu)^{1/2} \psi \Big|_{\xi=\tau_1} - u_1 c^2 \frac{\operatorname{sh} \tau_1 (1 - \mu^2)}{(\operatorname{ch} \tau_1 - \mu)^{3/2}},$$

$$\sum_{n=0}^{\infty} U'_n(-\tau_2) C_n^{-1/2}(\mu) = -\frac{3}{2} \operatorname{sh} \tau_2 (\operatorname{ch} \tau_2 - \mu)^{1/2} \psi \Big|_{\xi=-\tau_2} - u_2 c^2 \frac{\operatorname{sh} \tau_2 (1 - \mu^2)}{(\operatorname{ch} \tau_2 - \mu)^{3/2}}. \quad (9)$$

Подставляя (4) в (9), находим

$$\sum_{n=0}^{\infty} U'_n(\tau_1) C_n^{-1/2}(\mu) - f_1(\mu) = 0, \quad \sum_{n=0}^{\infty} U'_n(-\tau_2) C_n^{-1/2}(\mu) - g_1(\mu) = 0, \quad (10)$$

где

$$f_1(\mu) = -u_1 c^2 \frac{1}{4} \frac{\operatorname{sh} \tau_1 (1 - \mu^2)}{(\operatorname{ch} \tau_1 - \mu)^{3/2}} + \dot{R}_1 c^2 \frac{3}{2} \frac{\operatorname{sh} \tau_1}{(\operatorname{ch} \tau_1 - \mu)^{1/2}} +$$

$$+ \left(\frac{\dot{R}_2 c^2}{\operatorname{sh}^2 \tau_2} - \frac{\dot{R}_1 c^2 \operatorname{ch} \tau_1}{\operatorname{sh}^2 \tau_1} \right) \frac{3}{2} \operatorname{sh} \tau_1 (\operatorname{ch} \tau_1 - \mu)^{1/2},$$

$$g_1(\mu) = -u_2 c^2 \frac{1}{4} \frac{\operatorname{sh} \tau_2 (1 - \mu^2)}{(\operatorname{ch} \tau_2 - \mu)^{3/2}} + \dot{R}_2 c^2 \frac{3}{2} \frac{\operatorname{sh} \tau_2}{(\operatorname{ch} \tau_2 - \mu)^{1/2}} +$$

$$+ \left(\frac{\dot{R}_1 c^2}{\operatorname{sh}^2 \tau_1} - \frac{\dot{R}_2 c^2 \operatorname{ch} \tau_2}{\operatorname{sh}^2 \tau_2} \right) \frac{3}{2} \operatorname{sh} \tau_2 (\operatorname{ch} \tau_2 - \mu)^{1/2}. \quad (11)$$

Далее функции $f_1(\mu)$, $g_1(\mu)$ необходимо разложить по полиномам Гегенбауэра, как это сделано выше.

Коэффициенты при полиномах Гегенбауэра $C_n^{-1/2}$ в уравнениях (5), (10) должны быть равны нулю. Отсюда для каждой четверки неизвестных $(X_n)^T = \{a_n, b_n, c_n, d_n\}$ получаем систему уравнений

$$M_n X_n - B_n = 0, \quad n = 0, 1, 2, \dots, \quad (12)$$

где матрица M_n равна

$$M_n = \begin{pmatrix} c_{\tau_1}^- & s_{\tau_1}^- & c_{\tau_1}^+ & s_{\tau_1}^+ \\ c_{\tau_2}^- & -s_{\tau_2}^- & c_{\tau_2}^+ & -s_{\tau_2}^+ \\ n_- s_{\tau_1}^- & n_- c_{\tau_1}^- & n_+ s_{\tau_1}^+ & n_+ c_{\tau_1}^+ \\ -n_- s_{\tau_2}^- & n_- c_{\tau_2}^- & -n_+ s_{\tau_2}^+ & n_+ c_{\tau_2}^+ \end{pmatrix},$$

$n_- = n - 3/2$, $n_+ = n + 1/2$, $c_\xi^\pm = \operatorname{ch} n_\pm \xi$, $s_\xi^\pm = \operatorname{sh} n_\pm \xi$; столбец B_n не приводится ввиду громоздкости.

Разрешая систему линейных уравнений (12), находим выражения для $\{a_n, b_n, c_n, d_n\}$, которые далее используются для определения вязких сил и их асимптотик вблизи зоны контакта сфер.

4. Выражения для вязких сил. В работе [1] для твердых шаров получена следующая формула для результирующей силы, действующей на каждый шар:

$$F_{\mu_l} = \pi \mu_l \int \rho^3 \frac{\partial}{\partial n} \left(\frac{\Phi^2(\psi)}{\rho^2} \right) ds. \quad (13)$$

Здесь n — внешняя нормаль к поверхности сферы; ds — элемент меридиана; μ_l — вязкость жидкости; интеграл берется вдоль меридиана соответствующего шара; оператор Φ^2 задается формулами (1).

Установлено, что формула (13) справедлива также для сфер с переменными радиусами. Подставляя функцию тока (2), для вязких сил получаем точные выражения

$$\begin{aligned} F_{\mu_1} &= -\mu_l \frac{8\pi c \dot{R}_1}{\operatorname{sh}^2 \tau_1} + \frac{2\sqrt{2}\pi\mu_l}{c} \sum_{n=2}^{\infty} (a_n + b_n + c_n + d_n), \\ F_{\mu_2} &= \mu_l \frac{8\pi c \dot{R}_2}{\operatorname{sh}^2 \tau_2} + \frac{2\sqrt{2}\pi\mu_l}{c} \sum_{n=2}^{\infty} (a_n - b_n + c_n - d_n). \end{aligned} \quad (14)$$

5. Асимптотические выражения для вязких сил. Метод поиска асимптотических рядов с точностью до константы предложен в [7]. Бесконечную сумму в первом уравнении (14) представим в виде

$$\frac{2\sqrt{2}}{c} \sum_{n=2}^{\infty} (a_n + b_n + c_n + d_n) = \frac{2\sqrt{2}}{c} \sum_{n=2}^{1/(\tau_1 + \tau_2)} (a_n + b_n + c_n + d_n) + O(1). \quad (15)$$

Для конечной суммы в (15) находим разложение по малому параметру $\tau_1 + \tau_2$:

$$\begin{aligned} \frac{2\sqrt{2}}{c} \sum_{n=2}^{1/(\tau_1 + \tau_2)} (a_n + b_n + c_n + d_n) &= \sum_{n=2}^{1/(\tau_1 + \tau_2)} \left(\frac{384n(n-1)R_1 R_2^3 (u_1 + u_2 + \dot{R}_1 + \dot{R}_2)}{(2n-1)(2n-3)^2(2n+1)^2(R_1 + R_2)^3 \tau_1^2} + \right. \\ &+ \frac{24R_1 \dot{R}_1}{(2n+1)(2n-3)\tau_1} + \left. \frac{32n(n-1)R_1 R_2}{(2n-1)(2n-3)^2(2n+1)^2(R_1 + R_2)^3} \right) \times \end{aligned}$$

$$\begin{aligned} & \times \{(u_1 + u_2)[3(4n^2 - 4n + 15)R_1^2 + 3(28n^2 - 28n - 15)R_1R_2 + (12n^2 - 12n + 25)R_2^2] + \\ & \quad + \dot{R}_1[3(4n^2 - 4n + 15)R_1^2 - 9(4n^2 - 4n - 5)R_1R_2 - (48n^2 - 48n - 55)R_2^2] + \\ & \quad + \dot{R}_2[(12n^2 - 12n + 25)R_2^2 - 9(4n^2 - 4n - 5)R_1R_2 - (48n^2 - 48n - 75)R_1^2]\} + O(\tau_1 + \tau_2). \end{aligned} \quad (16)$$

Поменяв местами индексы 1 и 2, а также знак перед знаком суммы, получаем аналогичное выражение для силы $F_{\mu_1 2}$.

Подставляя (16) в (15), а затем в (14) и учитывая, что

$$\begin{aligned} \tau_1 &= \frac{R_2}{R_1 + R_2} \sqrt{\frac{2h}{\bar{R}}} + O(h^{3/2}), & \tau_2 &= \frac{R_1}{R_1 + R_2} \sqrt{\frac{2h}{\bar{R}}} + O(h^{3/2}), \\ c &= \sqrt{2h\bar{R}} + O(h^{3/2}), & \bar{R} &= R_1R_2/(R_1 + R_2), \end{aligned}$$

находим разложение вязких сил вблизи зоны контакта сфер в окончательном виде

$$\begin{aligned} F_{\mu_1 1} \approx -F_{\mu_1 2} &= -6\pi\mu_l \bar{R}^2 \frac{\dot{h}}{h} - 6\pi\mu_l \bar{R} \ln\left(\frac{\bar{R}}{h}\right) \left(\frac{1}{5} + \frac{R_1R_2}{(R_1 + R_2)^2}\right) \dot{h} - \\ & - 6\pi\mu_l \bar{R} \ln\left(\frac{\bar{R}}{h}\right) \left(\frac{R_2(R_2 + 2R_1)}{(R_1 + R_2)^2} \dot{R}_1 + \frac{R_1(R_1 + 2R_2)}{(R_1 + R_2)^2} \dot{R}_2\right) + O(1) \end{aligned} \quad (17)$$

($\dot{h} = -(\dot{R}_1 + \dot{R}_2 + u_1 + u_2)$).

В случае постоянных радиусов ($\dot{R}_1 = \dot{R}_2 = 0$) разложения вязких сил совпадают с разложениями, полученными в работах [4, 5].

Главная часть асимптотического выражения, пропорциональная выражению $1/h$ в формуле (17), для пузырьков с переменными радиусами получена в работах [7, 10] с помощью теории смазочного слоя. В работе [11] также с помощью теории тонкого слоя для случая роста пузырька вблизи стенки получена логарифмическая особенность асимптотического выражения

$$F_{\mu_l} = -6\pi\mu_l R_1 \dot{h} \left(\frac{R_1}{h} + O\left(\ln \frac{h}{R_1}\right)\right) + 6\pi\mu_l R_1 \dot{R}_1 \left(\ln \frac{h}{R_1} + O(1)\right).$$

При $R_2 \rightarrow \infty$ в формуле (17) получаем более точное разложение, включающее логарифмическую особенность при h :

$$F_{\mu_l} = -6\pi\mu_l R_1 \dot{h} \left(\frac{R_1}{h} - \frac{1}{5} \ln \frac{h}{R_1} + O(1)\right) + 6\pi\mu_l R_1 \dot{R}_1 \left(\ln \frac{h}{R_1} + O(1)\right).$$

При больших расстояниях между центрами сфер r асимптотики вязких сил (14) принимают вид

$$\begin{aligned} \frac{F_{\mu_1 1}}{6\pi\mu_l R_1} &\approx u_1 \left(1 + \frac{9}{4} \frac{R_1 R_2}{r^2}\right) + \frac{3}{2} u_2 \frac{R_2}{r} + \frac{3}{2} \dot{R}_1 \frac{R_1^2 R_2}{r^3} + \dot{R}_2 \frac{R_2^2}{r^2}, \\ -\frac{F_{\mu_1 2}}{6\pi\mu_l R_2} &\approx u_2 \left(1 + \frac{9}{4} \frac{R_1 R_2}{r^2}\right) + \frac{3}{2} u_1 \frac{R_1}{r} + \frac{3}{2} \dot{R}_2 \frac{R_2^2 R_1}{r^3} + \dot{R}_1 \frac{R_1^2}{r^2}, \end{aligned}$$

что при $\dot{R}_1 = \dot{R}_2 = 0$ согласуется с результатами [6].

Заключение. В приближении Стокса рассмотрено движение двух сфер с переменными радиусами в вязкой жидкости. Найдено точное выражение для сил гидродинамического взаимодействия. Получено двухчленное разложение для этих сил при выполнении граничного условия прилипания. Первый член пропорционален $1/h$, второй пропорционален $\ln h$. Впервые найдена логарифмическая асимптотика, имеющая существенное значение для исследования задач о слиянии пузырьков [7]. Для твердых шаров логарифмическая

асимптотика согласуется с асимптотическими выражениями [4, 5]. В случае взаимодействия сферы с переменным радиусом и плоскости полученный результат согласуется с результатом работы [10]. Найденное точное выражение для сил взаимодействия позволяет получить разложения по обратным степеням r .

Автор выражает благодарность А. Г. Петрову за полезные замечания и продуктивное обсуждение.

ЛИТЕРАТУРА

1. **Stimson M., Jeffery G. B.** The motion of two spheres in a viscous fluid // Proc. Roy. Soc. London. Ser. A. Contain. Papers Math. Phys. Character. 1926. V. 111, N 757. P. 110–116.
2. **Brenner H.** The slow motion of a sphere through a viscous fluid towards a plane surface // Chem. Engng Sci. 1961. V. 16, N 3/4. P. 242–251.
3. **Cox R. G., Brenner H.** The slow motion of a sphere through a viscous fluid towards a plane surface. 2. Small gap widths, including inertial effects // Chem. Engng Sci. 1967. V. 22, N 12. P. 1753–1777.
4. **Cooley M. D. A., O’Neill M. E.** On the slow motion generated in a viscous fluid by the approach of a sphere to a plane wall or stationary sphere // Mathematika. 1969. V. 16, N 1. P. 37–49.
5. **Jeffrey D. J.** Low-Reynolds number flow between converging spheres // Mathematika. 1982. V. 29, N 1. P. 58–66.
6. **Happel J.** Low-Reynolds number hydrodynamics: with special applications to particulate media / J. Happel, H. Brenner. Dordrecht: Martinus Nijhoff Publ., 1983. V. 1.
7. **Petrov A. G.** Forced oscillations of two gas bubbles in a fluid in the vicinity of bubble contact // Fluid Dynamics. 2011. V. 46, N 4. P. 81–99.
8. **Уиттекер Э. Т.** Курс современного анализа / Э. Т. Уиттекер, Д. Н. Ватсон. М.: Физматлит, 1963.
9. **Сандуляну Ш. В.** Асимптотическое разложение кинетической энергии жидкости при движении в ней двух сфер переменных радиусов вблизи их контакта // Прикл. математика и механика. 2020. Т. 84, вып. 3. С. 311–326.
10. **Петров А. Г., Харламов А. А.** Пространственные задачи гидродинамического взаимодействия тел в вязкой жидкости в окрестности их контакта // Изв. РАН. Механика жидкости и газа. 2013. № 5. С. 14–25.
11. **Michelin S., Gallino G., Gallaire F., Lauga E.** Viscous growth and rebound of a bubble near a rigid surface // J. Fluid Mech. 2019. V. 860. P. 172–199.

*Поступила в редакцию 20/I 2020 г.,
после доработки — 20/I 2020 г.
Принята к публикации 2/III 2020 г.*